

Autori

prof. dr. sc. Damir Žarko
dr. sc. Branimir Ćučić

Nakladnik

Graphis d.o.o.,
Maksimirска 88, Zagreb

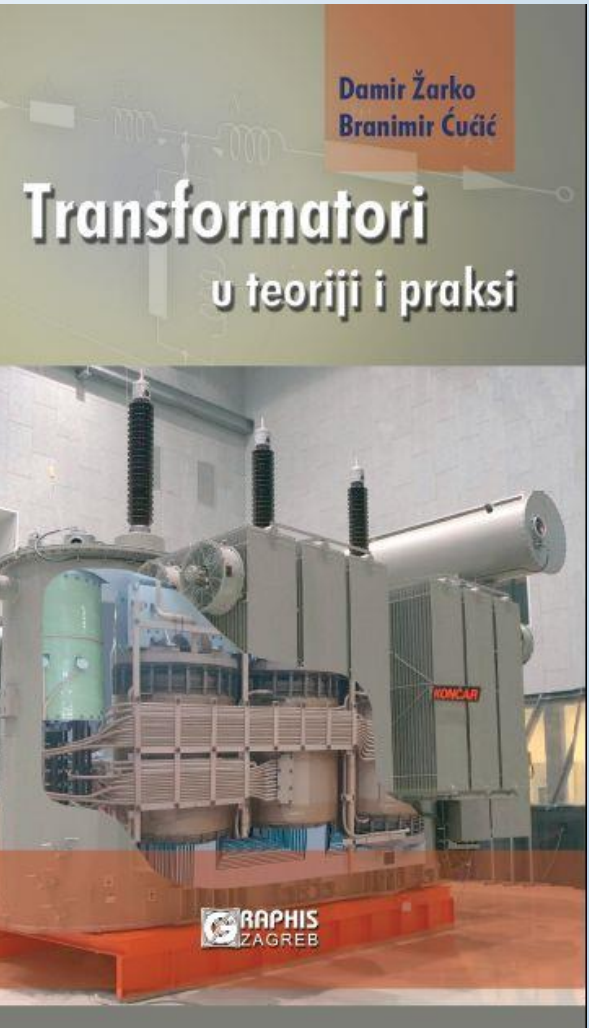
Recenzenti

prof. dr. sc. Zlatko
Maljković
dr. sc. Antun Mikulecky
prof. dr. sc. Zvonimir
Valković



Transformatori u teoriji i praksi

Damir Žarko, Branimir Ćučić

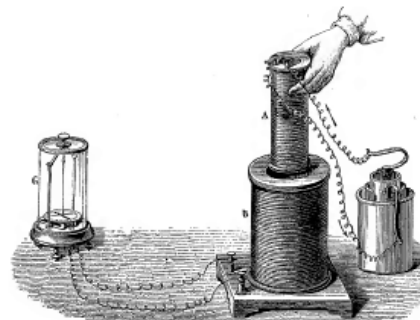


1. Uvod

1. UVOD

Transformatori su uređaji koji na principu elektromagnetske indukcije pretvaraju električnu energiju iz jednog izmjeničnog sustava u drugi iste frekvencije, ali promijenjene vrijednosti napona i struja. U pravilu se sastoje od željezne magnetske jezgre, dva ili više namota koji mogu biti spregnuti samo zajedničkim elektromagnetskim poljem, a u slučaju autotransformatora i električki, te od raznih konstrukcijskih dijelova kao što su stezni sustav jezgre i namota, kotao, konzervator, hladnjaci, itd.

Razvoj transformatora tekao je postepeno još od 1831. godine kada je Michael Faraday otkrio princip elektromagnetske indukcije. Eksperiment koji potvrđuje taj princip prikazan je na slici 1.1. preuzetoj iz udžbenika o elektricitetu iz 19. stoljeća [1]. Svitak napajan iz baterije uvlači se ili izvlači iz šupljeg svitka na čije krajeve je priključen galvanometar. Zbog promjene magnetskog toka izazvane pomakom manjeg svitka, u većem

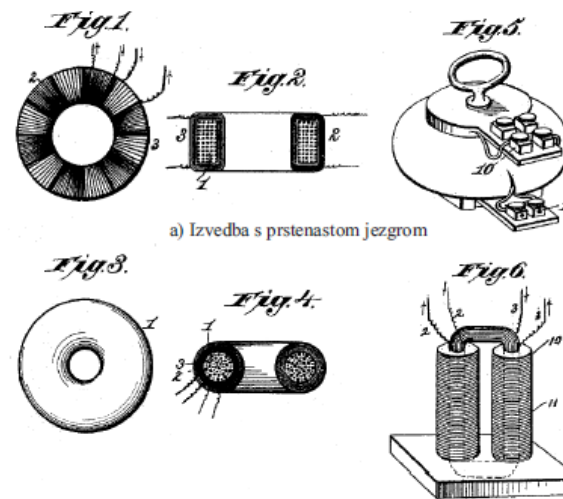


SL 1.1. Skica eksperimenta M. Faradaya koji dokazuje princip elektromagnetske indukcije [1]

svitku inducira se napon koji će potjerati struju kroz galvanometar i izazvati otklon njegove kazaljke.

Prvim komercijalno upotrebljivim transformatorom može se smatrati izum ruskog inženjera Pavela Jobločkova koji je 1877. godine izgradio sustav serijski povezanih zavojnica sa štapnom željeznom jezgrom. Na sekundarne svitke namotane oko iste jezgre priključio je „električne svijeće“ koje je izumio 1876. godine. Ovaj sustav koristio je za osvjetljenje na pariškoj izložbi 1878. godine.

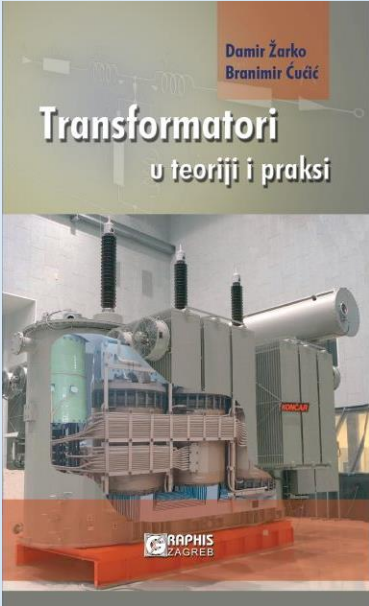
Nedostatak prvih transformatora bio je u tome što se koristila otvorena magnetska jezgra pa nije bilo moguće postići visoku magnetsku indukciju niti ostvariti učinkovitu pretvorbu energije na većim snagama. Između 1884. i 1885. godine inženjeri tvrtke Ganz and co. Károly Zipernowsky, Ottó Bláthy i Miksa Déri izumili su prvi transformator sa zatvorenom magnetskom jezgrom poznat kao „ZBD“ transformator nazvan po prvim slovima njihovih prezimena (slika 1.2.). Na prstenastu jezgru načinjenu od izolirane željezne žice namotali su po obodu zavoju primarnog i sekundarnog namota. Na taj način se magnetski tok koji ulančuje oba namota u potpunosti zatvara kroz željeznu jezgru linijom najmanjeg magnetskog otpora. Osim te izvedbe patentirali su i onu sa supljom jezgrom od željezne žice kroz koju su prolazili međusobno izolirani bakreni vodiči oba namota. Ovi principi izvedbe magnetskoga kruga omogućili su razvoj transformatora visokog stupnja korisnosti i njihovu komercijalnu primjenu u prijenosu električne energije čime je ona postala dostupna širokim masama za potrebe osvjetljenja, transporta i industrijske proizvodnje.



Sl. 1.2 Skica iz patentne prijave ZBD transformatora [12]

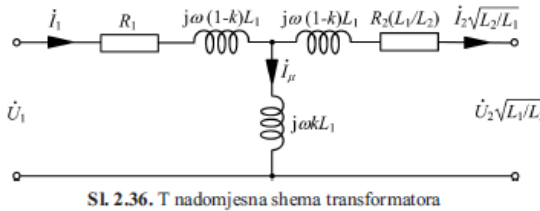


2. Teorijske osnove transformatora



Transformatori
u teoriji i praksi

2.3. Matematički model transformatora 55



$$a = \sqrt{\frac{L_1}{L_2}} = \sqrt{\frac{\frac{N_1^2}{R_{m1}}}{\frac{N_2^2}{R_{m2}}}} = \frac{N_1}{N_2} \sqrt{\frac{R_{m2}}{R_{m1}}}. \quad (2.169)$$

U literaturi je uobičajen odabir koeficijenta $a = N_1/N_2$ jer su u transformatoru sa željeznom jezgrom R_{m1} i R_{m2} praktički jednaki. U tom slučaju naponske jednadžbe glase

$$\dot{U}_1 = \dot{I}_1 R_1 + j\omega \left(L_1 - \frac{N_1}{N_2} L_{12} \right) \dot{I}_1 + j\omega \frac{N_1}{N_2} L_{12} \left(\dot{I}_1 - \dot{I}_2 \frac{N_2}{N_1} \right), \quad (2.170)$$

$$-\frac{N_1}{N_2} \dot{U}_2 = \dot{I}_2 \frac{N_2}{N_1} \left(\frac{N_1}{N_2} \right)^2 R_2 + j\omega \left[\left(\frac{N_1}{N_2} \right)^2 L_2 - \frac{N_1}{N_2} L_{12} \right] \dot{I}_2 \frac{N_2}{N_1} - j\omega \frac{N_1}{N_2} L_{12} \left(\dot{I}_1 - \dot{I}_2 \frac{N_2}{N_1} \right). \quad (2.171)$$

Izraz $L_1 - (N_1/N_2)L_{12}$ se, koristeći izraze iz odjeljka 2.2.3, može pisati u obliku

$$L_1 - \frac{N_1}{N_2} L_{12} = N_1 \frac{\Phi_e}{i_t} - \frac{N_1}{N_2} N_2 \frac{\Phi_{21e}}{i_t} = \frac{N_1 (\Phi_e - \Phi_{21e})}{i_t} = \frac{N_1 \Phi_{ole}}{i_t} = L_{ol} \quad (2.172)$$

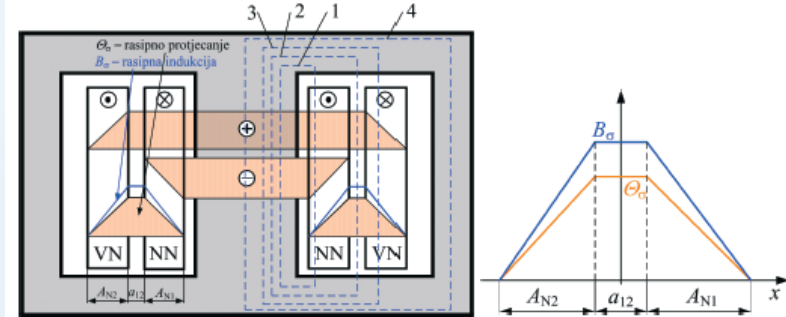
i predstavlja rasipni induktivitet namota primara. Slično se iz izraza $(N_1/N_2)^2 L_2 - (N_1/N_2)L_{12}$ može pokazati da on predstavlja rasipni induktivitet sekundarnog namota reducirana na primarnu stranu $(N_1/N_2)^2 L_{ol2}$. U ovom slučaju omjeri transformacije glase

$$K_U = \frac{N_1}{N_2}, \quad K_I = \frac{N_2}{N_1}, \quad K_Z = \left(\frac{N_1}{N_2} \right)^2 \quad (2.173)$$

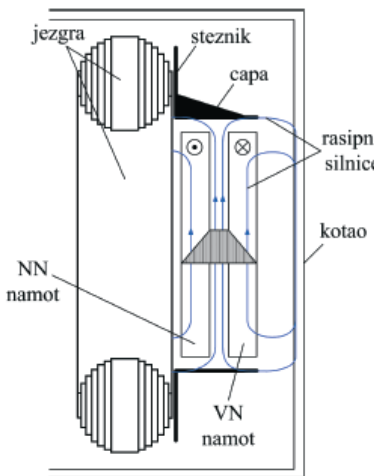
pa su reducirane vrijednosti definirane izrazima

$$\frac{N_1}{N_2} U_2 = U'_2, \quad \frac{N_2}{N_1} I_2 = I'_2, \quad \left(\frac{N_1}{N_2} \right)^2 Z_2 = Z'_2. \quad (2.174)$$

2.7. Izračun rasipne reaktancije transformatora 75



SI. 2.51. Raspodjela protjecanja i magnetske indukcije u prozoru transformatora



SI. 2.52. Bočni pogled na transformator s raspodjelom protjecanja i silnicama rasipnog polja

Ieline linije pojednostavljuje se izračun magnetske indukcije u prozoru B_σ te ona postaje proporcionalna protjecanju Θ_σ . Bočni pogled na transformator sa silnicama rasipnog polja prikazan je na slici 2.52 gdje je vidljivo da se rasipno polje dijelom može zatvarati preko steznika i kotla.

3. Vrste, glavni dijelovi i grupe spoja transformatora

108 3. VRSTE, GLAVNI DIJELOVI I GRUPE SPOJA TRANSFORMATORA



SL. 3.1. a) Distribucijski i b) energetski transformator

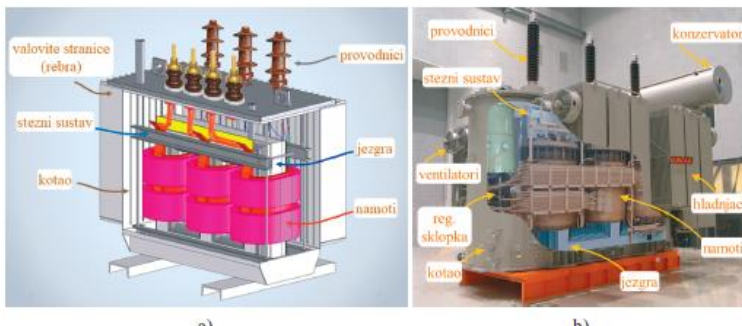
Prema izolacijskom i rashladnom sredstvu transformatori se dijele na:

- suhe (klasične suhe i zalivene),
- uljne (mineralno ulje i ostale rashladne tekućine).

3.2. Dijelovi transformatora

3.2.1. Aktivni dio

Glavni dijelovi uljnog distribucijskog i energetskog transformatora prikazani su na slici 3.2. Namoti, jezgra i stezni sustav kod distribucijskog te dodatno regulacijska sklopka kod energetskog transformatora čine aktivni dio. Aktivni dio okružen je uljem i nalazi se u

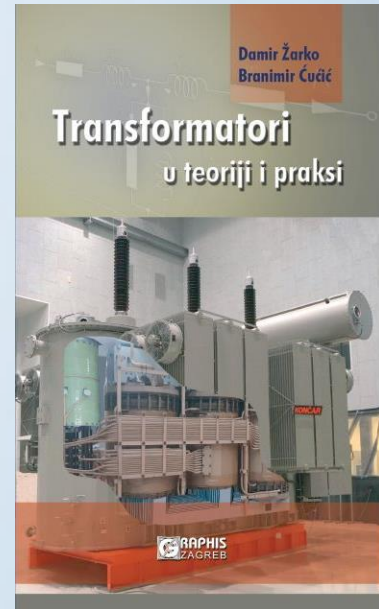


SL. 3.2. Glavni dijelovi: a) distribucijskog transformatora i b) energetskog transformatora

3.4. Spojevi namota 125

Tablica 3.2. Najčešći spojevi namota trofaznih transformatora (grupe spoja)

Satni broj	Trofazni spojevi		
	Yy0	Dd0	Dz0
0			
6			
5			
1			



Transformatori
u teoriji i praksi

Damir Žarko
Branimir Ćutić

4. Oblici presjeka stupa i namota

128 4. OBLICI PRESJEKA STUPA I NAMOTA

$$S = \frac{D^2\pi}{4} = \frac{d^2\pi}{4} + d\delta = ab,$$

$$d = \frac{D}{\sqrt{1+\frac{2}{\pi}}} \approx 0,7817D; \quad \delta = \frac{d}{2} = \frac{D}{2\sqrt{1+\frac{2}{\pi}}} \approx 0,3909D,$$

$$a = \frac{d}{3}\left(1 + \frac{\pi}{2}\right) = \frac{D}{3}\sqrt{1 + \frac{\pi}{2}} \approx 0,67D; \quad b = d + \delta = \frac{3}{2}d = \frac{3}{2}\frac{D}{\sqrt{1+\frac{2}{\pi}}} \approx 1,1725D.$$

Odgovarajući opsezi su

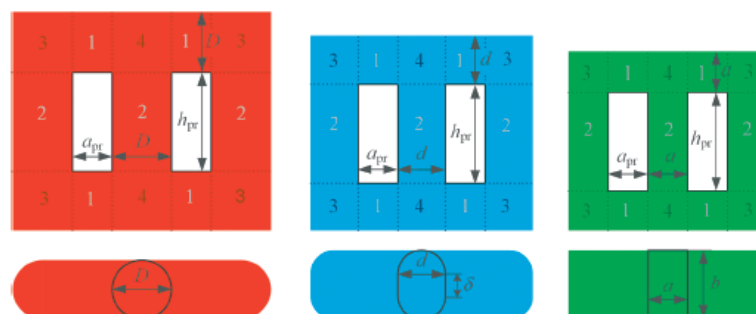
$$\begin{aligned} o_k &= D\pi \approx 3,1416D, \\ o_o &= d\pi + 2\delta \approx 3,2375D = 1,03o_k \quad (+3\%), \\ o_p &= 2(a+b) \approx 3,6848D = 1,17o_k \quad (+17\%), \end{aligned} \quad (4.2)$$

gdje se indeks k odnosi na kružni oblik, o na ovalni i p na pravokutni oblik. Sve karakteristične veličine izražene su kao funkcija promjera D kružnog oblika.

4.1. Usporedba idealno popunjениh jezgara s različitim oblicima presjeka stupa

4.1.1. Usporedba uz uvjet istog presjeka jezgre

Na slici 4.3 prikazana je usporedba jezgara s istom površinom poprečnog presjeka stupa i jarma S (istom indukcijom B), te istom visinom (h_{pr}) i širinom prozora (a_{pr}), a različitim oblicima poprečnog presjeka jezgre (okrugli, ovalni, pravokutni).



Sl. 4.3. Usporedba jezgara s različitim oblikom presjeka stupa (okrugli, ovalni, pravokutni)

4.1. Usporedba idealno popunjениh jezgara s različitim oblicima presjeka stupa 129

Ovalna jezgra u odnosu na okruglu donosi uštede u dvije dimenzije (širina i visina), dok je u trećoj dimenziji (debljina) ovalna jezgra deblijia od okrugle. Pravokutna jezgra u odnosu na ovalnu također donosi uštedu u dvije dimenzije (širina i visina), dok debljina ostaje ista. Osim ušteda u masi jezgre, dobivaju se uštede i u masi ulja i kotla, te se snižavaju gubici u jezgri.

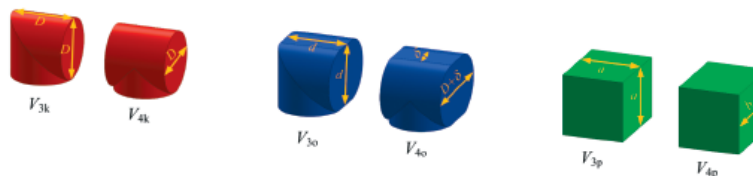
Na slici 4.3 brojevima 1 i 2 označeni su dijelovi jezgre bez spojnih mesta (1-jaram, 2-stup), a brojevima 3 i 4 dijelovi jezgre u kojima se spajaju stup i jaram (spojava mesta). To je bitno za izračun mase jezgre jer je volumen dijelova 1 i 2 isti u svim jezgrama bez obzira na oblik presjeka stupa. Dakle, masa jezgre sastoji se od fiksne mase dijelova jezgre bez spojnih mesta (m_{j12}) i promjenjive mase dijelova jezgre u spojnim mestima (m_{j34}).

$$m_j = m_{j12} + m_{j34}. \quad (4.3)$$

Masa jezgre računa se prema izrazu

$$m_j = \gamma_{Fe} \left[S \left(4a_{pr} + 3h_{pr} \right) + 4V_3 + 2V_4 \right], \quad (4.4)$$

gdje je γ_{Fe} gustoća magnetskih limova ($\gamma_{Fe} = 7650 \text{ kg/m}^3$), V_3 je volumen jednog vanjskog spojnog mesta stupa i jarma, a V_4 je volumen jednog unutrašnjeg spojnog mesta (slika 4.4).

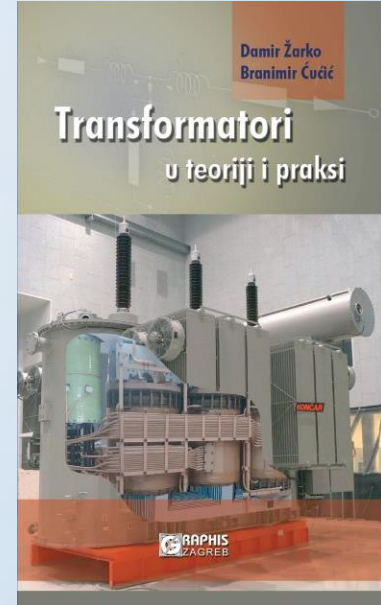


Sl. 4.4. Volumeni spojnih mesta u jezgri (V_3 i V_4) za različite oblike presjeka

Volumen jednog vanjskog spojnog mesta za kružni, ovalni i pravokutni oblik presjeka redom iznose

$$\begin{aligned} V_{3k} &= 2 \cdot \frac{D^2\pi}{4} \cdot \frac{D}{2} = \frac{D^3\pi}{4} \approx 0,7854D^3, \\ V_{3o} &= \frac{d^3\pi}{4} + d^2\delta = \frac{d^3}{2} \left(1 + \frac{\pi}{2} \right) \approx 1,2854d^3 \approx 0,6139D^3, \\ V_{3p} &= a^2b = \frac{d^3}{6} \left(1 + \frac{\pi}{2} \right)^2 \approx 1,1015d^3 \approx 0,5261D^3. \end{aligned} \quad (4.5)$$

Volumen unutrašnjeg spojnog mesta je



5. Jezgra i gubici praznog hoda

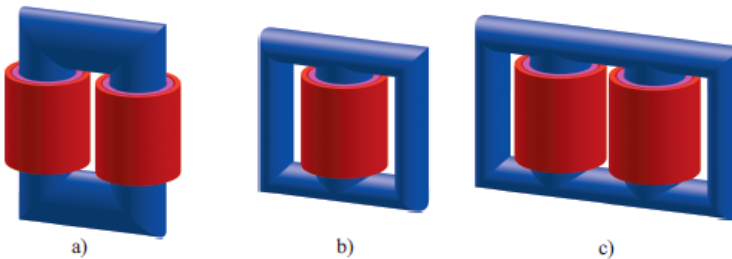
Damir Žarko
Branimir Ćutić

Transformatori
u teoriji i praksi

5.7. Izvedba jezgara 149

- 2) broju stupova
 - dvostupne
 - trostupne
 - četverostupne
 - peterostupne
- 3) izvedbi bez ili s povratnim stupom
 - jezgraste
 - ogrnute
 - slagane
 - motane
- 4) načinu izvedbe

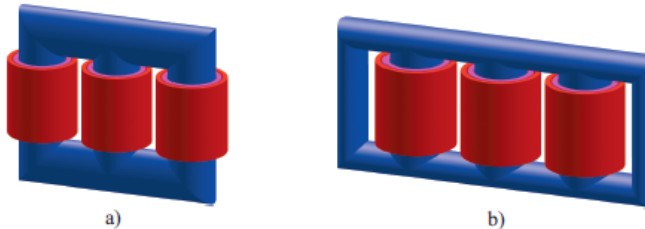
5.7.1. Izvedbe jednofaznih slaganih jezgara



SL. 5.12. Izvedbe jednofaznih jezgara: a) dvostupna, b) trostupna i c) četverostupna

Na slici 5.12 su prikazani najčešći tipovi jednofaznih jezgara. Kod dvostupne jednofazne jezgre, stup i jaram imaju isti presjek, dok je kod trostupne i četverostupne inačice presjek dijelova jezgre koji služe za povrat magnetskog toka 1,7 – 1,8 puta manji od presjeka stupova na kojima su namotni. Inačica a) se još zove i jezgrasti tip (engl. *core type*), a inačice b) i c) ogrnuti tip (engl. *shell type core*).

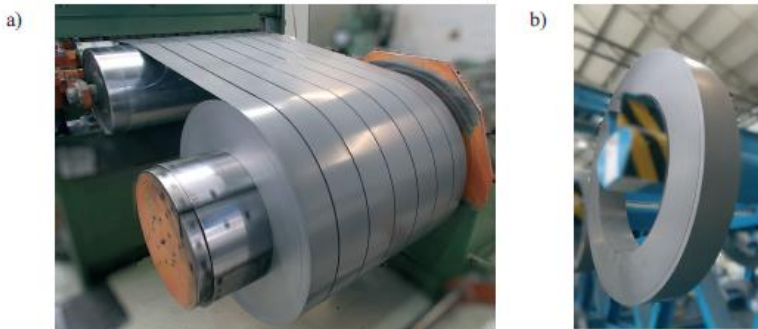
5.7.2. Izvedbe trofaznih slaganih jezgara



SL. 5.13. Izvedbe trofaznih jezgara: a) trostupna i b) peterostupna

5.7. Izvedba jezgara 151

Nakon toga slijedi proces uzdužnog rezanja bale lima. U primjeru na slici 5.15a bala se reže na sedam uzdužnih kolutova lima. Jedan uzdužno izrezani kolut lima prikazan je na slici 5.15b.

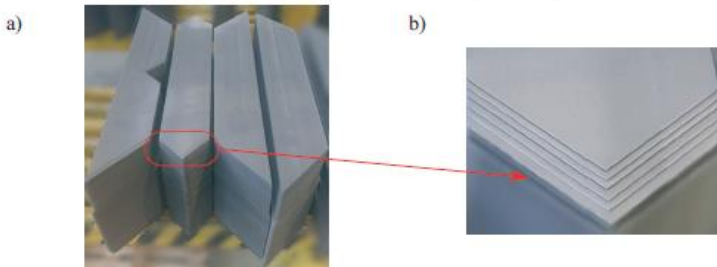


SL. 5.15. a) Proces uzdužnog rezanja bale lima na kolutove i b) jedan uzdužno izrezani kolut lima

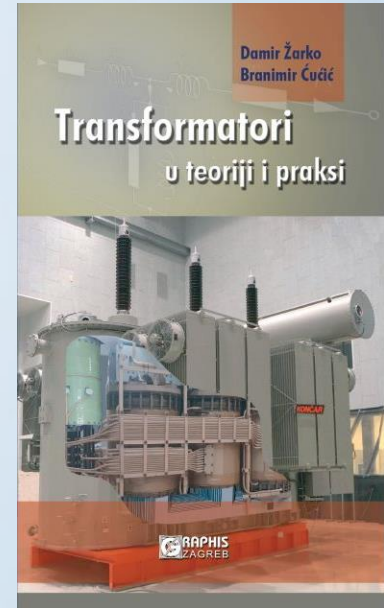
Nakon toga se uzdužno izrezani kolut stavlja na stroj za poprečno rezanje gdje se kolut razmata (razvijen u ravlinu postaje ravna traka) te se režu limovi za gornji i donji jaram, vanjske stupove i unutrašnji stup. To se ponavlja za svaku širinu paketa. Na slici 5.16 prikazano je poprečno rezanje trake lima gdje se sekvencialno režu kombinacije jaram-stup. Nakon što se nareže potrebna debљina, prelazi se na rezanje srednjeg stupa.



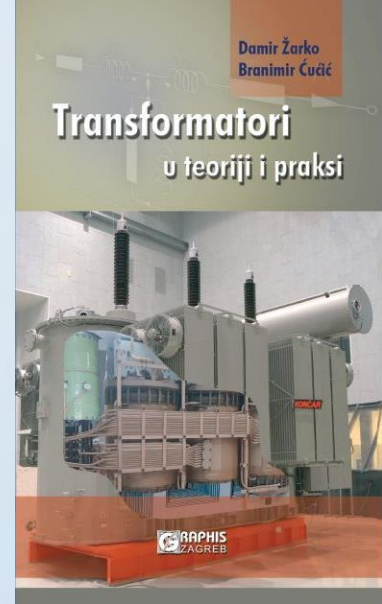
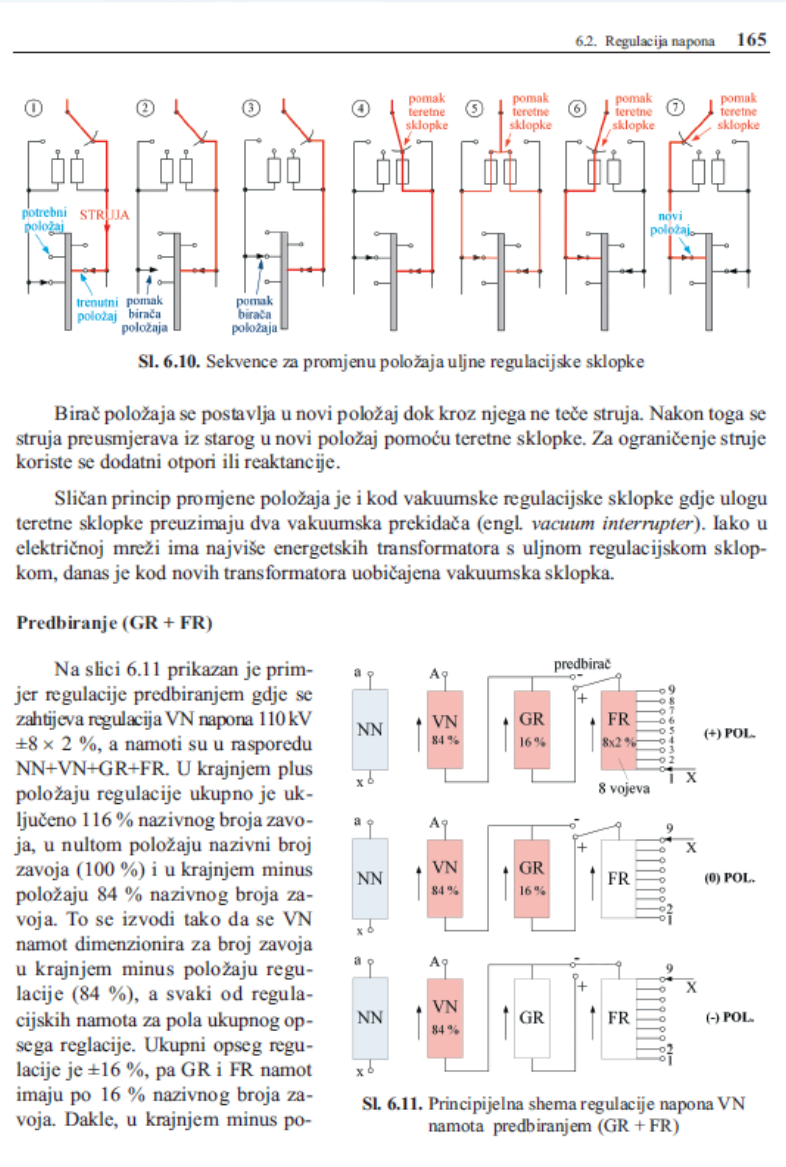
SL. 5.16. Poprečno rezanje trake lima (jaram-stup)



SL. 5.17. a) Poprečno izrezane trake lima i b) detalj preklopa u više koraka



6. Namoti i gubici tereta



7. Izolacijski sustav transformatora i ispitni naponi

232 7. IZOLACIJSKI SUSTAV TRANSFORMATORA I ISPITNI NAPONI



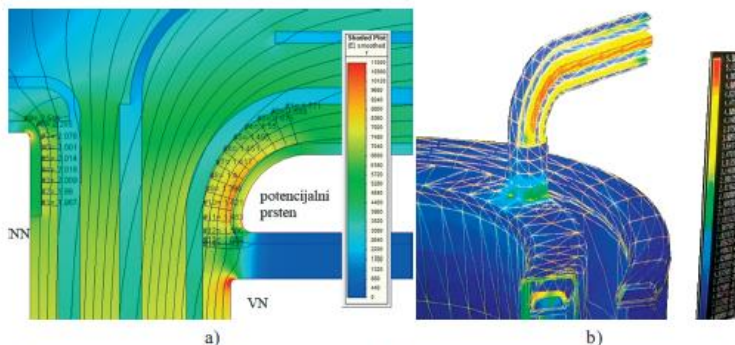
Sl. 7.2. Primjeri papirne izolacije u transformatoru

260 7. IZOLACIJSKI SUSTAV TRANSFORMATORA I ISPITNI NAPONI

Što se tiče razmaka u zraku (razmaci između provodnika), oni su definirani u [125]. U slučaju da se transformator ispituje sklopnim naponom (SI), tada za određivanje razmaka provodnika može biti mjerodavan sklopni napon.

7.6.2. Izračun električnog polja

Izračun električnog polja danas se uobičajeno provodi metodom konačnih elemenata (engl. *finite element method* – FEM) ili metodom rubnih elemenata (engl. *boundary element method* – BEM) i to najčešće na pojednostavljenoj 2D geometriji (slika 7.27a). Izuzetak su izvodi namota čije se polje obično računa u 3D (slika 7.27b), premda su neke konfiguracije analitičke rješive u 2D.



Sl. 7.27. Primjer izračuna električnog polja između NN i VN namota u 2D (lijevo) i izračuna električnog polja izvoda VN namota u 3D (desno)

7.6.3. Određivanje faktora sigurnosti

Za određivanje faktora sigurnosti koji se definira kao omjer dozvoljene i računske vrijednosti električnog polja koriste se različite metode [26] (kumulativna metoda, metoda mak-simalnog električnog polja, *streamer* metoda i metoda napregnutog prostora). Mi ćemo se ovdje zadržati na kumulativnoj metodi kao jednoj od najčešćih metoda koja se koristi za dimenzioniranje glavne izolacije transformatora.

7.6.3.1. Kumulativna metoda za određivanje faktora sigurnosti

Kumulativna metoda je eksperimentalno provjerena metoda koja se koristi za određivanje faktora sigurnosti u uljnom kanalu glavne izolacije te faktora sigurnosti na granici ulje-papir (klizna naprezanja).

Prema slici 7.28, faktor sigurnosti FS se definira kao minimalni omjer dopuštene E_{do} i izračunate prosječne jakosti električnog polja E_{sr} uzduž neke silnice, odnosno granice dielektrika:



8. Buka

298 8. BUKA

udaljenost od izvora, podrazumijeva se ambijentalna vrijednost buke. Ove vrijednosti vrijede za zrak kao medij. Kada nema medija za prijenos (npr. u vakuumu), zvuk se ne prenosi.

Tablica 8.1. Karakteristične vrijednosti zvučnog tlaka za pojedine izvore buke

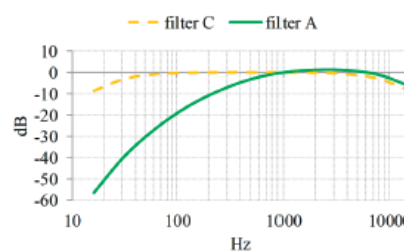
	L_{pA} , dB	
zrakoplov na 50 m	120-140	NEPODNOŠLJIVO
motorna pila na 1 m	110	
disko, 1 m od zvučnika	100	
kamion na 10 m	90	VRLO BUČNO
pločnik uz prometnu ulicu	80	
usisavač na udaljenosti od 1 m	70	BUČNO
razgovor na udaljenosti od 1 m	60	
ured ili učionica	50	UMJERENA BUKA
tih ured ili knjižnica	40	
spavača soba po noći	30	TIHO
študio za snimanje	20	
lišće	10	JEDVA ČUJNO
prag čujnosti	0	

8.3. Mjerenje buke transformatora

Mjerenje buke transformatora je tipsko ispitivanje (odjeljak 20.1.2) što znači da se obavezno mjeri na jednom predstavnicičkom transformatoru za određeni tip transformatora ili prema zahtjevu kupca. Kod distribucijskih i manjih energetskih transformatora mjeri se samo buka jezgre (slika 8.3), dok se kod većih transformatora mjeri buka jezgre i buka namota.

8.3.1. Prilagođavanje mjerene buke karakteristikama ljudskog uha

Kod instrumenata za mjerenje buke koriste se odgovarajući filtri koji objektivnu vrijednost buke prilagođavaju subjektivnoj. Na stvarne izmjerene vrijednosti buke dodaju se korekcijske vrijednosti (filtri A i C) definirane krivuljama prikazanim na slici 8.1. Tako se filter A u praksi koristi kada je vrijednost buke izražena u dB potrebno prilagoditi ljudskom uhu. Ove prilagođene vrijednosti se izražavaju u dB(A) ili dBA. Na niskim i na visokim frekvencijama će dB(A) biti manji od dB, dok na srednjim frekvencijama vrijednosti ostaju praktički iste.



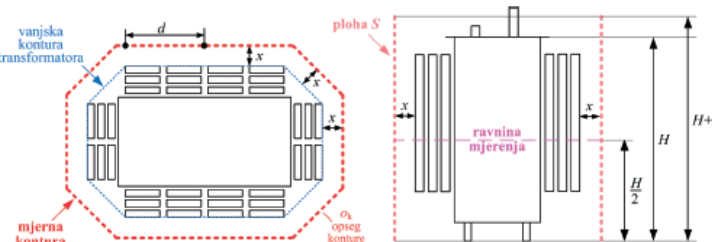
Slika 8.1. Krivulje za prilagođavanje buke

8.3. Mjerenje buke transformatora 299

Mjerene vrijednosti se označavaju s L_{pA} , L_{1A} i L_{WA} da se naglasi da su te vrijednosti korigirane prema krivulji A na slici 8.1.

8.3.2. Metode za mjerenje buke

Mjerenje buke transformatora definirano je IEC standardom 60076-10 [127], a ravnina mjerena i mjerena kontura prikazani su na slici 8.2. Buka se mjeri u ravnini koja se nalazi na pola visine H koja se računa od dna transformatora do visine poklopca ili visine hladnjaka ako hladnjaci nadvisuju kotač. Kontura mjerena u ravnini $H/2$ je od vanjske konture transformatora udaljena za vrijednost x ($x = 0,3$ m za distribucijske transformatore, $x = 1$ m za energetski transformatore bez ventilatora i $x = 2$ m za transformatore s ventilatorima).



Slika 8.2. Mjerenje buke transformatora prema IEC 60076-10

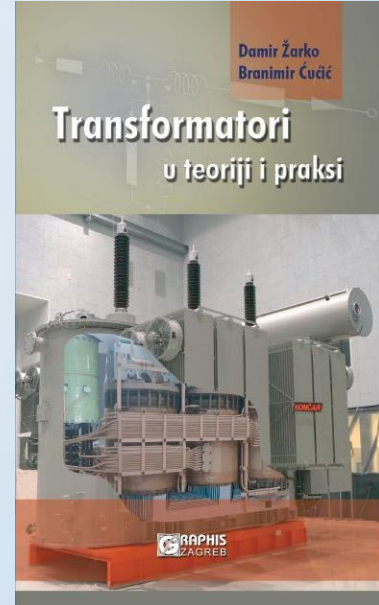
Poстоje dvije metode mjerenja: 1. mjerenja buke u točkama (engl. *point by point*) i 2. kontinuirano mjerenje buke duž mjerne konture (engl. *walk around*). U svakoj od tih metoda mjeri se zvučni tlak ili intenzitet.

8.3.2.1. Metoda mjerenja buke u točkama (*point by point*)

U ovoj metodi se broj točaka u kojima se mjeri buka određuje iz uvjeta da razmak d između njih ne bude veći od 1 m s time da broj točaka ne smije biti manji od osam. Srednja mjerena vrijednost razine zvučnog intenziteta ili tlaka dobiva se pomoću (8.16) ili (8.17), dakle kao srednja logaritamska vrijednost buke po točkama. Ova metoda se uobičajeno primjenjuje kod distribucijskih transformatora, a broj mjernih točaka je najčešće osam. Primjena iste metode kod energetskih transformatora zbog većih dimenzija dovodi do puno većeg broja mjernih točaka pa je kod njih praktičnije koristiti *walk around* metodu.

8.3.2.2. Metoda mjerenja buke duž mjerne konture (*walk around*)

Kod *walk around* metode ispitivač zajedno s mjernim instrumentom hoda duž mjerne konture i kontinuirano mjeri buku, a konačan rezultat je srednja logaritamska vrijednost buke po konturi. Ova se metoda koristi da bi se ubrzao proces mjerenja buke. Najčešće se koristi kod energetskih transformatora.



9. Sile i naprezanja u kratkom spoju

Damir Žarko
Branimir Ćutić

Transformatori
u teoriji i praksi

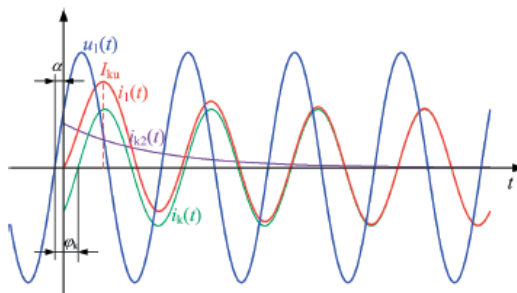
308 9. SILE I NAPREZANJA U KRATKOM SPOJU

$$i_{k2}(t) = \frac{U_{\text{eff}} \sqrt{2} \sin(\alpha - \varphi_k)}{\sqrt{R_k^2 + X_k^2}} e^{-\frac{R_k t}{L_k}} \quad (9.12)$$

i predstavlja prijelaznu struju kratkog spoja. Prijelazna struja opada po vremenskoj konstanti

$$\tau_k = \frac{L_k}{R_k} = \frac{X_k}{\omega R_k} = \frac{u_s}{\omega u_r}, \quad (9.13)$$

Valni oblici navedenih komponenata struje kratkog spoja i ukupne struje kratkog spoja prikazani su na slici 9.3.



SL. 9.3. Valni oblik napona i struje za slučaj udarnog kratkog spoja koji je nastupio iz praznog hoda transformatora

Maksimalnu vrijednost struje kratkog spoja I_{ku} nazivamo *udarnom strujom kratkog spoja* i dobivamo je iz uvjeta $\alpha = 0$. Udarna struja kratkog spoja je

$$I_{ku} = k_u \sqrt{2} I_k, \quad (9.14)$$

gdje je k_u faktor asimetrije koji se za distribucijske transformatore snage $S_n \leq 2,5$ MVA računa na sljedeći način:

$$\varphi_k = \arctan\left(\frac{u_s}{u_r}\right), \quad (9.15)$$

$$k_u = 1 + e^{-\left(\varphi_k + \frac{\pi}{2}\right) \frac{n_s}{n_x}} \cdot \sin \varphi_k. \quad (9.16)$$

Faktor asimetrije k_u je prikazan na slici 9.4 kao funkcija omjera radne i induktivne komponente napona kratkog spoja u_r/u_x . Maksimalna teoretska vrijednost udarne struje kratkog spoja dobiva se za slučaj kada je $u_r = 0$ ($R_k = 0$) i tada je $k_u = 2$. Kako pada nazivna snaga transformatora, tako raste udio radne u odnosu na induktivnu komponentu napona kratkog spoja, ali omjer u_r/u_x rijetko kada prelazi 0,5.

94. Radikalna naprezanja 313

Uvrštavanjem (9.25) u (9.24) dobiva se srednja radikalna sila za cijeli namot

$$F_R = \frac{1}{2} \frac{\mu_0 (NI)^2 o_{se} K_R}{H_{12}} \cdot 10^6 = \frac{1}{2} \frac{\mu_0 (NI)^2 D_{se} \pi K_R}{H_{12}} \cdot 10^6. \quad (9.26)$$

Kod izračuna radikalnih naprezanja koristi se radikalna sila po jedinici duljine opseg-a u N/mm

$$f_R = \frac{F_R}{N o_{se}} = \frac{1}{2} \frac{\mu_0 NI^2 K_R}{H_{12}} \cdot 10^6. \quad (9.27)$$

Radikalna sila se najčešće računa za slučaj najvećeg strujnog opterećenja pa za struju I treba uvrstiti udarnu struju kratkog spoja I_{ku} .

Kvar u slučaju kratkog spoja ponekad se dešava samo na vanjskom dijelu NN namota (u vanjskoj polovici, vanjskoj trećini ili u vanjske dvije trećine namota) i to tipično kod distribucijskih transformatora. Tako je na slici 9.8 prikazano izvijanje vanjske polovice NN namota, dok je unutrašnja polovica namota ostala nedeformirana. To se može objasniti činjenicom da je zbog veće magnetske indukcije srednje naprezanje vanjskog dijela NN namota veće od srednjeg naprezanja cijelog NN namota. Stoga će se sile i naprezanja računati za vanjski dio NN namota. Dijelovi NN namota omeđeni su aksijalnim kanalima u namotu. Prema slici 9.9 namot bez kanala je jedna cjelina, namot s jednim kanalom ima dvije cjeline (polovice), dok namot s dva kanala ima tri cjeline (trećine).



SL. 9.8. Kvar na vanjskoj polovici NN-a

Pri izračunu srednje radikalne sile u vanjskim dijelovima unutrašnjeg namota u (9.24) treba uvrstiti općenito $k_N \cdot N$ zavoja, a u (9.25) treba uvrstiti $k_B \cdot B_0$ ovisno o tome u kojem dijelu namota se računa radikalna sila (slika 9.9). Ako se sila računa za vanjsku polovicu unutrašnjeg namota, tada je $k_N = 1/2$ i $k_B = 3/4$ jer je obuhvaćeno pola od ukupnog broja zavoja, a srednja vrijednost magnetske indukcije u vanjskoj polovici je 3/4 indukcije B_0 u glavnom kanalu između unutrašnjeg i vanjskog namota. Za vanjsku trećinu unutrašnjeg namota je $k_N = 1/3$ i $k_B = 5/6$. Radikalna sila za vanjski dio unutrašnjeg namota se može napisati općenito kao

$$F_R = k_N k_B \frac{\mu_0 (NI)^2 o_{se} K_R}{H_{12}} \cdot 10^6 = k_N k_B \frac{\mu_0 (NI)^2 K_R}{H_{12}} (k_{D_u} D_u + k_{D_v} D_v) \pi \cdot 10^6, \quad (9.28)$$

$$f_R = \frac{F_R}{k_N N o_{se}} = k_B \frac{\mu_0 NI^2 K_R}{H_{12}} \cdot 10^6, \quad (9.29)$$



10. Zagrijavanje i hlađenje transformatora

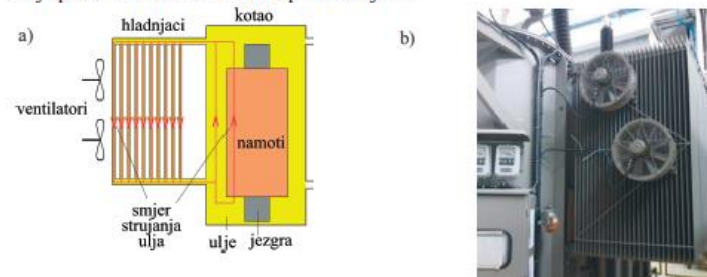
332 10. ZAGRIJAVANJE I HLAĐENJE TRANSFORMATORA

smanjene gustoće uvijek diže prema gore pa ulje u namotima strui odozdo prema gore. Ulje zatim s gornje strane ulazi u izmjenjivač topline (hladnjake) gdje strui u obrnutom smjeru te se hlađi (konvekcijom i zračenjem) te na koncu s donje strane ponovo ulazi u kotao da bi ohladio namot, tj. preuzeo toplinu iz namota (kondukcijom i konvekcijom). Najtoplija točka namota je uvijek pri vrhu namota.

Za namote u svicima (preloženi, upleteni) moguće je povećati prijenos topline s namota na ulje ugradnjom posebnih pregrada u namot (slika 10.10b). Time se ulje više usmjerava kroz radikalne kanale u namotu (usmjereni hlađenje, engl. *zig-zag cooling*)

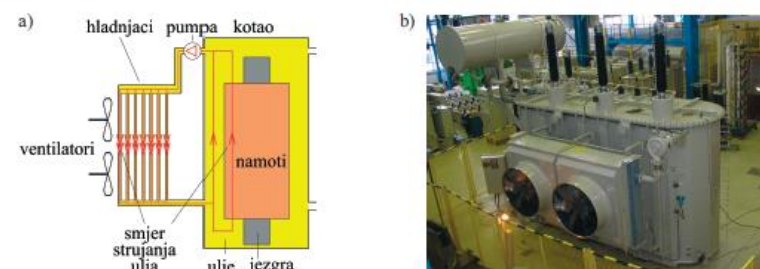
10.2.2. ONAN/ONAF

U ONAN/ONAF sustavu hlađenja (engl. *Oil Natural Air Forced – ONAF*) namoti, kotao i hladnjaci se prirodno hlađe s mogućnošću poboljšanja hlađenja hladnjaka prisilnim strujanjem zraka uključenjem ventilatora (slika 10.7). Ventilatori se najčešće uključuju iznad 60 % nazivnog opterećenja. Ventilatori mogu biti smješteni s bočne strane hladnjaka kao što je prikazano na slici 10.7 ili ispod hladnjaka.



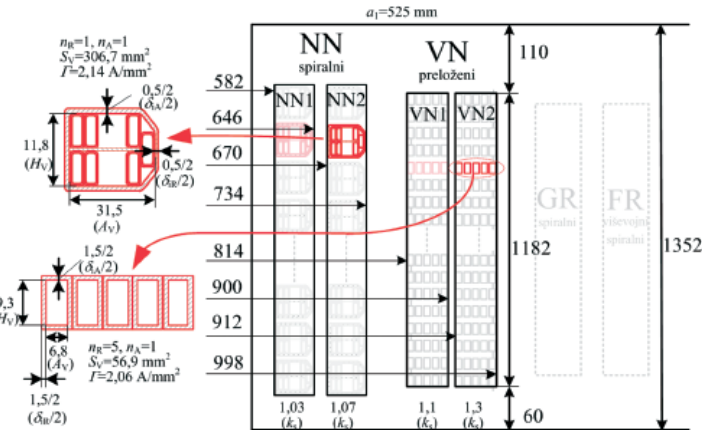
SL. 10.7. ONAN/ONAF sustav hlađenja: a) princip i b) primjer izvedbe

10.2.3. OFAF



SL 10.8. OFAF sustav hlađenja: a) princip i b) primjer izvedbe

356 10. ZAGRIJAVANJE I HLAĐENJE TRANSFORMATORA



SL. 10.24. Geometrija za izračun nadtemperatura energetskog transformatora

$$P_{\text{seg_NN1}} = n_A n_R \left(1 / \kappa_{75}\right) S_V I^2 (1 + k_s) = 1 \cdot 1 \cdot \frac{1}{48} \cdot 306,7 \cdot 2,14^2 \cdot 1,03 = 30,1 \frac{\text{W}}{\text{m}}. \quad (10.79)$$

Toplinska vodljivost za navedeni segment (nema slojne izolacije, reduksijski koeficijent 0) računa se kao

$$G'_{\text{R_seg_NN1}} = \frac{2 \cdot n_A \cdot (H_v + \delta_{IA})}{\frac{1}{\Psi_A} \cdot \left(\frac{\delta_{IR}}{2 \cdot \lambda_i} + \frac{1000}{\alpha_A} \right)} = \frac{2 \cdot 1 \cdot (11,8 + 0,5)}{0,75 \cdot \left(\frac{0,5}{2 \cdot 0,15} + \frac{1000}{70} \right)} = 1,16 \frac{\text{Wm}^{-1}\text{K}^{-1}}{\text{m}},$$

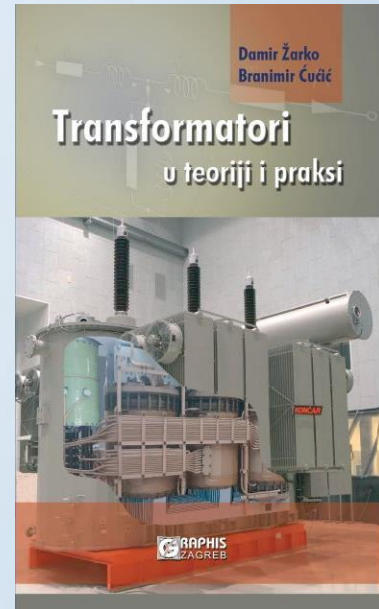
$$G'_{\text{A_seg_NN1}} = \frac{2 \cdot n_R \cdot (A_v + \delta_{IR})}{\frac{1}{\Psi_R} \cdot \left(\frac{\delta_{IA}}{2 \cdot \lambda_i} + \frac{1}{\alpha_R} \right)} = \frac{2 \cdot 1 \cdot (31,5 + 0,5)}{0,70 \cdot \left(\frac{0,5}{2 \cdot 0,15} + \frac{1000}{35} \right)} = 1,48 \frac{\text{Wm}^{-1}\text{K}^{-1}}, \quad (10.80)$$

$$G'_{\text{seg_NN1}} = G'_{\text{R_seg_NN1}} + G'_{\text{A_seg_NN1}} = 1,16 + 1,48 = 2,64 \frac{\text{Wm}^{-1}\text{K}^{-1}}{\text{m}}.$$

Nadtemperatura segmenta sekcije NN1 prema ulju je

$$\Theta_{\text{NU_seg_NN1}} = \frac{P'_{\text{seg_NN1}}}{G'_{\text{seg_NN1}}} = \frac{30,1}{2,64} = 11,4 \text{ K}. \quad (10.81)$$

Na isti način se dobiva i nadtemperatura segmenta sekcije NN2 prema ulju



Transformatori
u teoriji i praksi

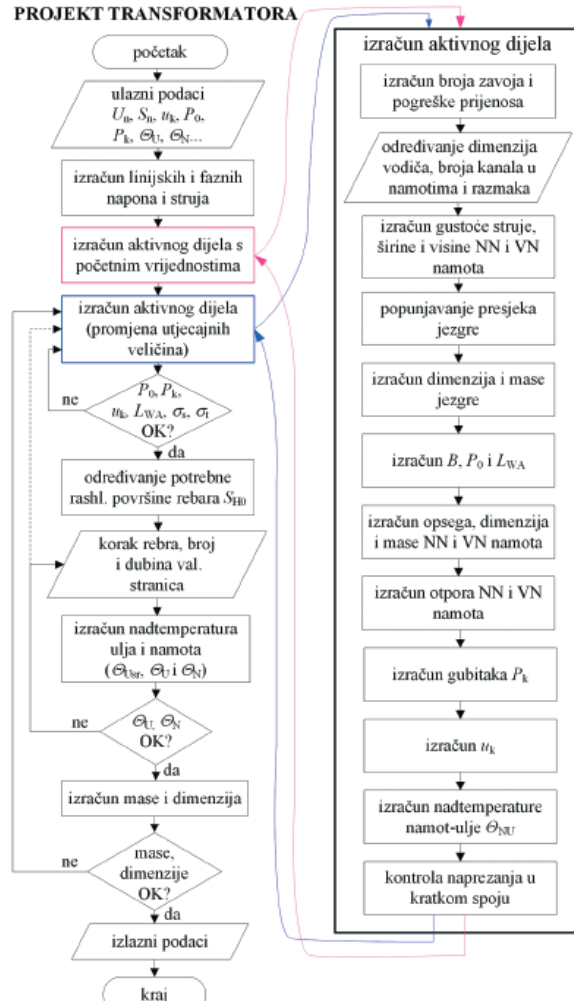
Damir Žarko
Branimir Ćutić

11. Projekt distribucijskog transformatora

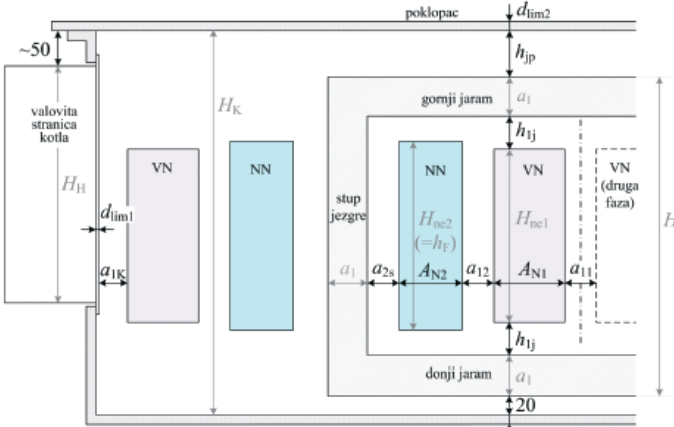
Damir Žarko
Branimir Ćutić

Transformatori
u teoriji i praksi

360 11. PROJEKT DISTRIBUCIJSKOG TRANSFORMATORA



364 11. PROJEKT DISTRIBUCIJSKOG TRANSFORMATORA



Sl. 11.2. Oznake veličina za koje se definiraju početne vrijednosti

Definiraju se početne vrijednosti za sljedeće veličine:

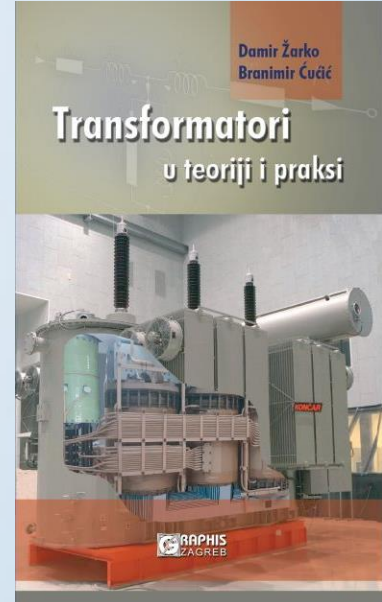
- a_{2s} – razmak između NN namota i stupom jezgre,
- a_{12} – razmak između NN i VN namota,
- a_{11} – razmak između dva VN namota susjednih faza,
- a_{1K} – razmak između VN namota i bočne stranice kotla,
- h_{1j} – razmak između VN namota i jarma,
- h_{jp} – razmak između jarma i voklopca,
- d_{lim1} – debljina lima valovite stranice,
- d_{lim2} – debljina voklopca i dna kotla.

Radi jasnoće, ucertane su i dimenzije namota (širina A_N i električna visina H_{N0}), širina stupa i jarma (a_1), visina jezgre (H_J), valovite stranice (H_H) i kotla (H_K). Početne vrijednosti za navedene veličine dane su u tablici 11.3.

Tablica 11.3. Početni razmaci i debljine

S_n , kVA	a_{2s} , mm	U_m , kV	a_{12} , mm	a_{11} , mm	a_{1K} , mm	h_{1j} , mm	h_{jp} , mm	d_{lim1} , mm	d_{lim2} , mm
≤ 250	2	12	7*	8	25		150	1,25	5
400	2,5	17,5	7	9	26				
630	3	24	9	11	28				
800	3,5	36	12	15	36				
1000	4								
1250	4,5								
> 1250	5								

* iz tehničkih razloga se razmak NN-VN ne radi manjim od 7 mm



12. Struja uključenja

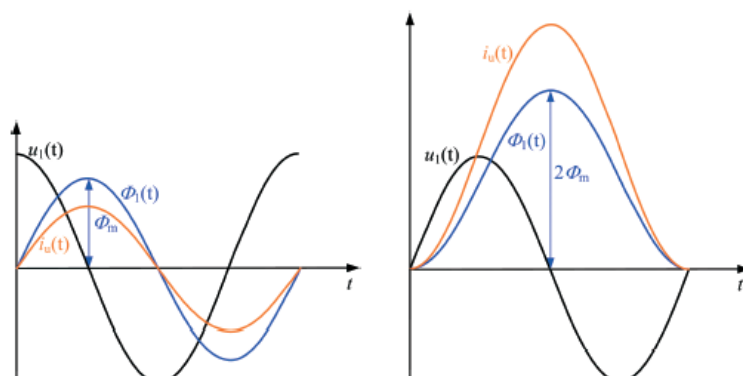
396 12. STRUJA UKLJUČENJA

$$\alpha = \frac{\pi}{2}: \Phi_1(t) = \frac{U_{n1}\sqrt{2}}{N_1\omega} \sin(\omega t) = \Phi_m \sin(\omega t), \quad (12.5)$$

$$\alpha = 0: \Phi_1(t) = \frac{U_{n1}\sqrt{2}}{N_1\omega} - \frac{U_{n1}\sqrt{2}}{N_1\omega} \cos(\omega t) = \Phi_m - \Phi_m \cos(\omega t).$$

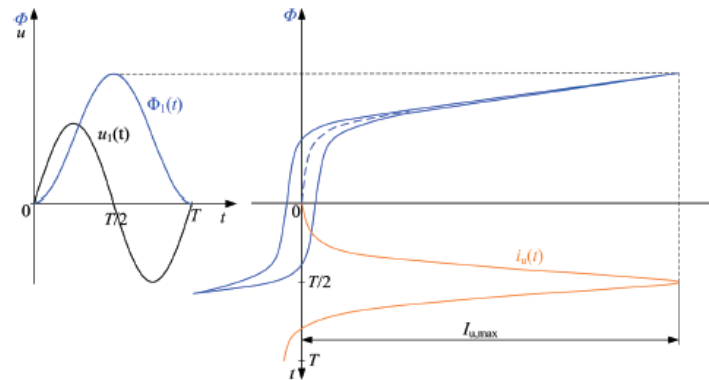
Obje prijelazne pojave toka Φ_1 prikazane su na slici 12.1. U slučaju $\alpha = \pi/2$ vidljivo je da će odmah poteci trajna struja praznog hoda bez prijelazne pojave, a vršna vrijednost toka Φ_1 jednaka je nazivnoj vrijednosti toka u jezgri Φ_m za transformator u praznom hodu. U slučaju $\alpha = \pi/2$ vršna vrijednost toka jednak je dvostrukoj nazivnoj vrijednosti ($2\Phi_m$). Za transformator s linearном krivuljom magnetiziranja bi prema (12.4) potekla struja uključenja iznosa jednakog dvostrukoj nazivnoj struci magnetiziranja. Taj iznos je još veći ako je u jezgri postojao remanentni magnetski tok Φ_r . U tom slučaju će maksimalni tok u jezgri za najgori slučaj biti $2\Phi_m + \Phi_r$.

U realnom transformatoru glavni induktivitet L_m ovisi o zasićenju jezgre transformatora, a zbog smanjenja dimenzija jezgre transformatori su tipično projektirani s nazivnim magnetskim indukcijama blizu koljena krivulje magnetiziranja, tj. na granici područja magnetskog zasićenja. Dvostruko povećanje toka u jezgri će stoga drastično zasiliti limove jezgre što će rezultirati smanjenjem njene permeabilnosti i posljedično smanjenjem induktiviteta L_m . Nužna posljedica toga je znatno povećanje struje magnetiziranja kako bi se zadovoljila jednadžba (12.4) jer potrebnii tok mora biti stvoren i u uvjetima velikog zasićenja.



Sl. 12.1. Promjena napona, struje i magnetskog toka s vremenom u transformatoru sa zanemarenim otporom primara i linearnom krivuljom magnetiziranja jezgre za slučajeve uključenja transformatora kada je: a) napon maksimalan i b) napon jednak nuli

398 12. STRUJA UKLJUČENJA



Sl. 12.2. Valni oblik struje uključenja u prvoj periodi za kut uključenja $\alpha = 0$ i razmagnetiziranu jezgru

Struja uključenja stvara različite probleme u praksi od kojih se mogu izdvojiti sljedeći:

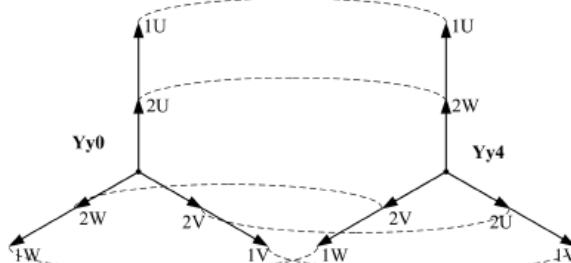
1. Veliki početni iznosi struje uključenja koji ovise o trenutnoj vrijednosti napona u trenutku uključenja mogu izazvati kvar na namotu zbog velikih sila i mehaničkih naprezanja.
2. Velika struja uključenja stvara padove napona u sustavu na koje neka trošila koja zahtijevaju konstantnu snagu reagiraju povećanom strujom, a to može izazvati djelovanje zaštite.
3. Viši harmonici u valnom obliku struje uključenja mogu izazvati rezonanciju i dinamičke prenapone u elektroenergetskom sustavu koji mogu trajati nekoliko sekundi. Problem je naglašen u mrežama niske snage kratkog spoja (viši induktivitet u impedanciji mreže) i višeg kapaciteta (dugački nadzemni vodovi ili podzemni kabeli) koji imaju rezonanciju na nižim frekvencijama bliskima neparnim ili parnim harmonicima struje uključenja nižeg reda i više amplitude [69]. Na rezonantnoj frekvenciji povećana je impedancija mreže gledano sa stezaljki transformatora zbog čega dolazi do prenapona u interakciji s odgovarajućim harmonikom struje uključenja [70]. Posljedice toga su djelovanje nadnaponskih zaštita ili preopterećenje metaloksidnih odvodnika prenapona.
4. Kada se uključuje jedan ili više transformatora javlja se uzajamno djelovanje (engl. *sympathetic interaction*) s drugim transformatorima na istim sabirnicama izazvano aperiodskim članom struje uključenja koji kruži među neposredno uključenim transformatorima i onima koji su već na mreži. Istosmjerna komponenta struje transformatora



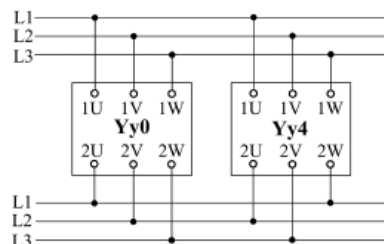
13. Paralelni rad transformatora



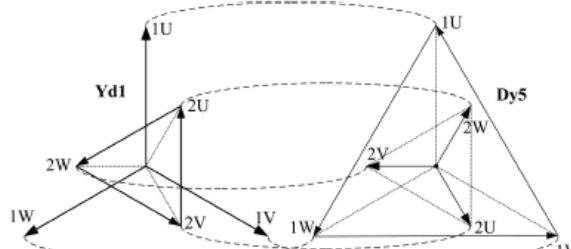
404 13. PARALELNI RAD TRANSFORMATORA



Sl. 13.1. Fazorski dijagrami transformatora u spoju Yy0 i Yy4 s označenim stezajkama koje se trebaju kratko spajati na VN i NN strani



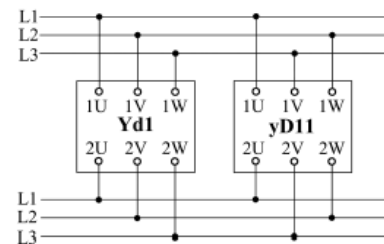
Sl. 13.2. Shema mrežnog priključka transformatora Yy0 i Yy4 u paralelnom spoju



Sl. 13.3. Fazorski dijagrami transformatora u spoju Yd1 i Dy5 s označenim stezajkama koje se trebaju kratko spajati na VN i NN strani

406 13. PARALELNI RAD TRANSFORMATORA

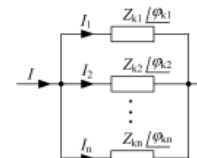
je da je orijentacija trokuta napona na sekundaru različita, stoga nije moguće povezivati stezajke na način opisan u prethodna dva slučaja. Rješenje je zarotirati fazorski dijagram jednog od transformatora za 180° oko okomite osi te onda povezati stezajke na ranije opisani način. Ako se fazorski dijagram transformatora u spoju Yd1 zarotira, dobivaju se fazorski dijagrami na slici 13.6 na kojima su označene stezajke koje se trebaju spajati na iste linije mrežnog priključka. Shema mrežnog priključka koja slijedi iz slike 13.6 je prikazana na slici 13.7.



Sl. 13.7. Shema mrežnog priključka transformatora Yd1 i yD11 u paralelnom spoju

13.1. Raspodjela snage među paralelno spojenim transformatorima

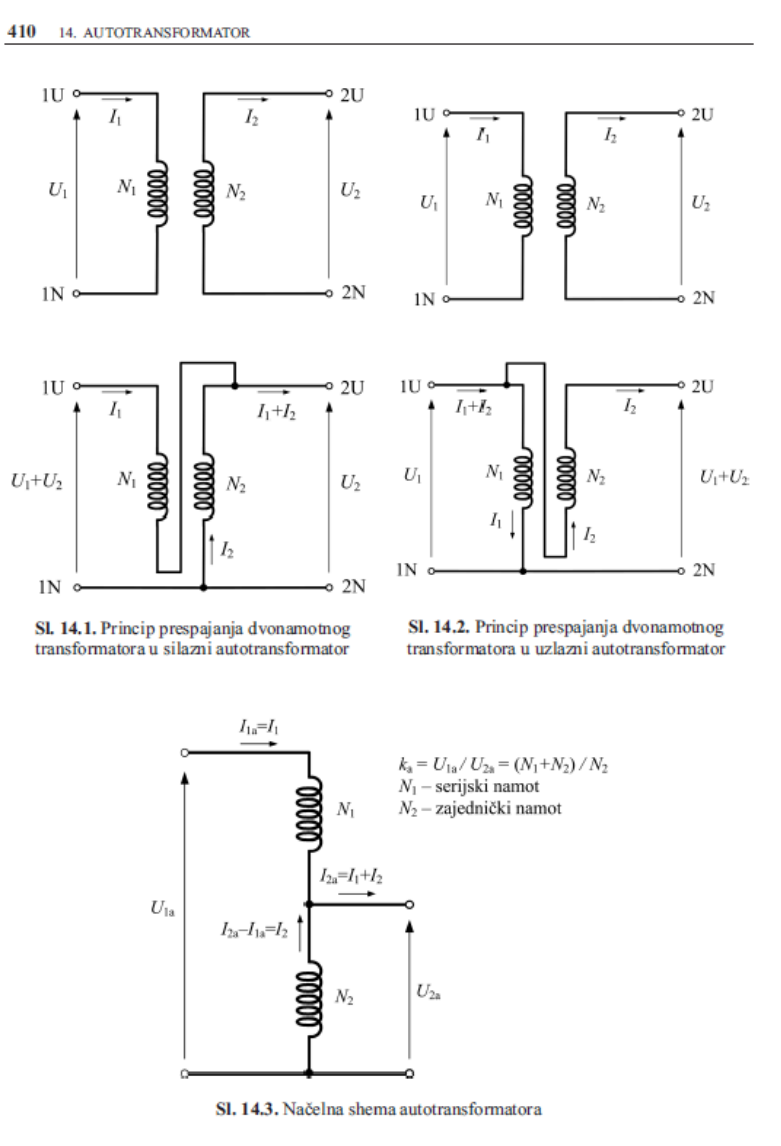
U grupi od n paralelno spojenih transformatora ukupna snaga će se raspodijeliti u ovisnosti o iznosu impedancije kratkog spoja pojedinog transformatora Z_{ki} i ukupne impedancije kratkog spoja cijele grupe Z_k . Struja I_0 u poprečnoj grani nadomjesne sheme se može zamjeriti jer je u većini modernih transformatora manja od 0,2 % nizivne struje. Paralelno spojeni transformatori tada se mogu prikazati kao paralelni spoj njihovih impedancija kratkog spoja kao što je prikazano na slici 13.8.



Sl. 13.8. Paralelni spoj transformatora prikazan impedancijama kratkog spoja

Ako se prepostavi da paralelno spojeni transformatori imaju isti omjer X_k/R_k , onda je fazni pomak ϕ_{ki} jednak za sve transformatore pa vrijedi

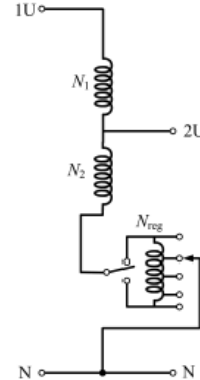
14. Autotransformator



- Dodatna prednost je niski napon regulacijskih zavoja prema zemlji te jednostavnija izvedba izolacijskog sustava.

$$\frac{U_{2a}}{U_{1a}} = \frac{N_2 \pm \frac{k}{N_p - 1} N_{reg}}{N_1 + N_2 \pm \frac{k}{N_p - 1} N_{reg}}$$

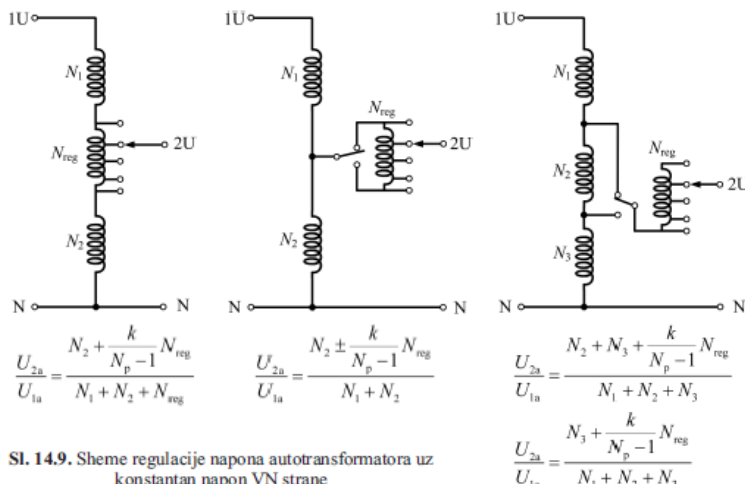
$k = 0, \dots, N_p - 1$
 N_p – broj položaja regulacijske sklopke



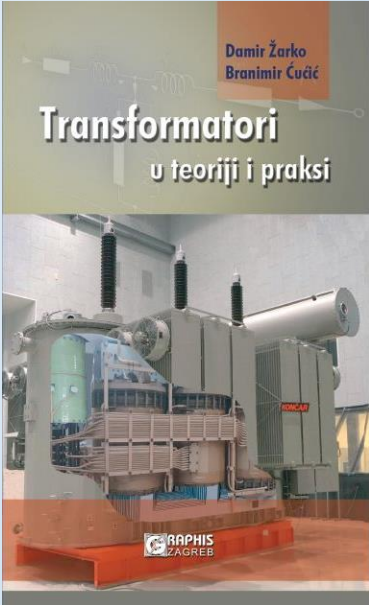
SL. 14.8. Shema autotransformatora s regulacijom napona u multočki

14.4.2. Regulacija napona autotransformatora uz konstantan napon VN strane

Slika 14.9 prikazuje nekoliko primjera regulacije napona autotransformatora u slučaju konstantnog napona VN strane i varijabilnog napona NN strane.



15. Zaštitni uređaji na transformatoru



422 15. ZAŠTITNI UREĐAJI NA TRANSFORMATORU

Magnetski (slika 15.3) i optički uljokaz (slika 15.4) najčešće se ugradjuju u cijev za nadolijevanje ulja na poklopac transformatora. Imaju mogućnost detektiranja curenja ulja i akumuliranja zraka i drugih plinova ispod poklopca transformatora. Kod magnetskog uljokaza je veza između indikatora razine ulja i pokazivača magnetska. Padom razine ulja, sve veći dio pokazivača u prozoru uljokaza postaje crvenijim. Kod optičkog uljokaza je vidljivo ulje u kojem pliva kuglica koja se u normalnim okolnostima nalazi pri vrhu prozora. U slučaju pada razine ulja, pada i kuglica.

Kombinirani zaštitni uređaj (slika 15.5) objedinjuje odušnik s kontaktima, kontaktne termometre i uljokaz s kontaktima. Ujedno postoji mogućnost uzimanja plina. Najčešće se upotrebljava na transformatorima snaga većih od 1600 kVA.



SL 15.3. Magnetski uljokaz



SL 15.4. Optički uljokaz



SL 15.5. Kombinirani zaštitni uređaj

15.1.2. Zaštitni uređaji na distribucijskim transformatorima koji imaju konzervator

Transformatori s konzervatorom imaju sušionik zraka (slika 15.6), uljokaz na konzervatoru (slika 15.7), a mogu imati Buchholz relj (slika 15.7) i kontaktne termometre. Buchholz relj služi za signalizaciju i isklapanje transformatora u slučaju razvijanja plina, gubitka ulja ili naglog strujanja ulja iz kotla prema konzervatoru uslijed kvara u transformatoru.



SL 15.6. Sušionik zraka



SL 15.7. Uljokaz na konzervatoru i Buchholz relj

15.1. Pregled zaštitnih uređaja na distributivnim transformatorima 425

tribucijskog transformatora, Buchholz relj služi za signalizaciju i isklapanje transformatora u slučaju razvijanja plina, gubitka ulja ili naglog strujanja ulja iz kotla prema konzervatoru uslijed kvara u transformatoru. Najčešće se montira na cijev koja povezuje kotao i konzervator (slika 15.12).



SL 15.12. Buchholz relj montiran na cijev koja povezuje kotao i konzervator

Odušnik

U slučaju burnog kvara unutar transformatora dolazi do isparavanja ulja, a plinovi stvaraju veliki tlak. Ako se tlak ne snizi unutar nekoliko milisekundi, dolazi do ošteteњa kotla. Da bi se to spriječilo, koristi se odušnik (slika 15.13). Ukoliko tlak u kotlu dosegne podešenu vrijednost na odušniku, ventil na odušniku se otvara i tlak u kotlu se normalizira. Odušnik se montira na poklopac transformatora.



SL 15.13. Odušnik

Indikator razine ulja u konzervatoru (uljokaz)

Konzervator služi za kompenzaciju volumena ulja uslijed promjene temperature. Minimalna i maksimalna dozvoljena razina ulja u konzervatoru označene su na uljokazu (slika 15.14). Također je označena i razina ulja pri temperaturi od 20 °C. Prilikom svake ugradnje uljokaza mora se podesiti pozicija plovka u ulju kako bi se on prilagodio postojećoj geometriji konzervatora i pokazivao ispravnu razinu pri referentnoj temperaturi.



SL 15.14. Uljokaz

16. Zaštita transformatora od korozije

16. ZAŠTITA TRANSFORMATORA OD KOROZIJE

Korozija je proces nenamjernog razaranja konstrukcijskih materijala uzrokovan fizičkim, hemijskim i biološkim agensima [72]. Proces je ireverzibilan, a korozija skraćuje vijek trajanja konstrukcija, uzrokuje gubitke u proizvodnji, havarije i nesreće te nerijetko i ekološke katastrofe.

Čelični dijelovi transformatora kao što su kotao, poklopac, konzervator, hladnjaci i dr. su tijekom životnog vijeka izloženi atmosferskoj koroziji. Atmosferska korozija je najrašireniji oblik korozije i rezultat je djelovanja dva čimbenika, kisika i vlage. U nedostatu jednog od njih ne dolazi do korozije. U suhom zraku ili kod relativne vlažnosti ispod 60%, čelik ne hrđa. Atmosferska korozija je posebno jaka u industrijskim i u primorskim predjelima. U današnje vrijeme je potrebno puno više pažnje posvetiti koroziji metala nego ranije, a jedan od glavnih razloga je pojačana korozivnost okoline uslijed povećanog zagadenja vode, zraka i tla.

Transformator se od korozije najčešće štiti bojanjem (obično epoksi, poliuretani ili akrilne boje na bazi vode), vrućim pocinčavanjem ili kombinacijom ove dvije tehnike. Zaštita pocinčavanjem se koristi za agresivnije atmosfere (obično zone C4 i C5 prema tablici 16.1). U postupku vrućeg pocinčavanja se valoviti kotlovi, poklopci, hladnjaci i dr. uranjuju u kadu s rastopljenim cinkom pri temperaturi od oko 450°C. Debljina takvog premaza je 50 – 100 µm (samo jedan sloj). S druge strane boja se obično nanosi u tri sloja (temeljni sloj, međusloj i završni sloj boje) ukupne debljine od 120 do 360 µm. Često se kao temeljni premaz koristi kombinacija boje i cinka (epoksid na bazi cinka), dok se za ostala dva sloja koristi boja.

Proces zaštite zahtijeva više procesa: pripremu površine, nanošenje prevlake, kontrolu debljine i proučjivosti premaza. Vrsta korozivne zaštite se određuje prvenstveno prema klimatskoj zoni (tablica 16.1) [147]. Prilikom odabira zaštite uzimaju se u obzir i sljedeći faktori: zaht-

428 16. ZAŠTITA TRANSFORMATORA OD KOROZIJE

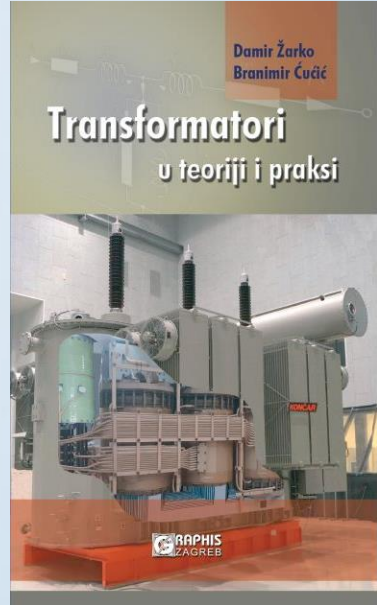
jevi kupca, mjesto gdje će se transformator ugraditi, temperatura unutrašnjosti transformatora, temperaturni stresovi, utjecaj kondenzacije, abrazivni utjecaj okoline i otpornost na UV zračenje.

Tablica 16.1. Klimatske atmosferske zone

kategorija	klimatska zona – otvoreni prostor	klimatska zona – zatvoren prostor
C1		Grjane zatvorene prostorije (zgrade) s čistim zrakom.
C2	Niski stupanj zagadenosti zraka. Ruralna područja.	Negrjane prostorije gdje postoji mogućnost kondenzacije (skladišta, dvorane).
C3	Naselja i industrijske zone s umjerenoj koncentracijom sumpornog dioksida.	Proizvodne hale s visokom vlažnošću, uz niski stupanj zagadenosti zraka (prehrambena industrija).
C4	Industrijske zone i obalna područja s umjerenim salinitetom.	Kemijska industrija, priobalne zgrade, blizina bazena
C5 I - industrija	Industrijske zone s visokom vlažnošću i agresivnom atmosferom.	Prostorije sa stalnom kondenzacijom i visokim stupnjem zagadenosti zraka.
C5 M - more	Obalna i morska područja s visokim salinitetom.	

Današnji trendovi idu u smjeru smanjenja uporabe boja na bazi otapala i traženja ekološki i ekonomski prihvatljivijih alternativa. Akrilne boje na vodenoj bazi ekološki su prihvatljive, ali je proces sušenja duži.

U novije vrijeme pojavljuju se još neke vrste korozivne zaštite kao što su KTL sustav (engl. *Cathodic E-dip coating*) i praškasti sustavi zaštite (za valovite kotlove). Praškasti premazi u svom sastavu imaju 100 % suhe tvari pa ne sadrže organska otapala. Najveće prednosti su ekološki prihvatljiviji premaz, ravnomjernost debljine premaza i bolja je mehanička otpomost [73].



17. Kapitalizirana cijena transformatora



17. KAPITALIZIRANA CIJENA TRANSFORMATORA

Osnovna cijena transformatora je prodajna cijena koja izražava vrijednost samog transformatora, dok kapitalizirana cijena dodatno uzima u obzir i cijene gubitaka. U tom smislu transformator može biti optimiran prema osnovnoj ili kapitaliziranoj cijeni, ovisno o tome jesu li u tenderskom zahtjevu kupca definirane cijene gubitaka.

Kapitalizirana cijena transformatora sastoji se od dvije komponente: osnovne cijene transformatora i troškova eksploatacije (gubitaka) transformatora za vrijeme njegove životne dobi, što se izražava sljedećom formulom

$$C_T = C_{Tp} + c_k P_k + c_0 P_0 \quad (17.1)$$

gdje je:

C_T – kapitalizirana cijena transformatora u €

C_{Tp} – osnovna, tj. prodajna cijena transformatora u €

c_k – cijena gubitaka tereta u €/W

P_k – gubici tereta u W

c_0 – cijena gubitaka praznog hoda u €/W

P_0 – gubici praznog hoda u W

Više cijene gubitaka c_k i c_0 povećavaju osnovnu cijenu transformatora C_{Tp} , ali snižavaju troškove eksploatacije $c_k P_k + c_0 P_0$, budući da se tada teži da se transformator napravi sa što nižim gubicima P_k i P_0 . Izraz $c_k P_k + c_0 P_0$ zapravo daje približnu ekvivalentnu sadašnju cijenu budućih troškova eksploatacije transformatora za cijelu njegovu životnu dob. Kapitalizacijske faktore c_k i c_0 definira kupac, a oni ovise o kamatnoj stopi, životnoj dobi trans-

18. Dijagnostika i motrenje transformatora

Damir Žorko
Branimir Ćutić

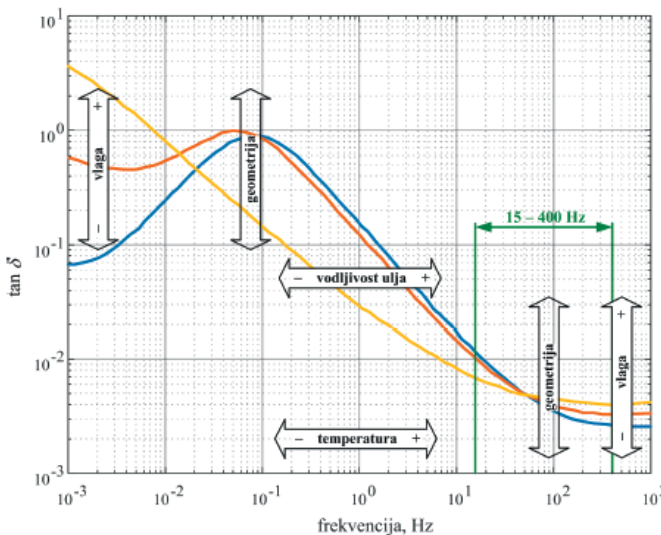
Transformatori
u teoriji i praksi

18.1. Dijagnostička ispitivanja transformatora 445

18.1.2.7. Dielektrična spektroskopija u frekvencijskoj domeni

Mjerenje faktora dielektričnih gubitaka u proširenom rasponu frekvencije je poznato kao ispitivanje dielektričnog frekvencijskog odziva (engl. *Dielectric Frequency Response Test – DFR*) ili spektroskopija u frekvencijskoj domeni (engl. *Frequency-Domain Spectroscopy – FDS*). Većinom se koristi raspon frekvencija od 0,1 mHz do 1 kHz, no na tržištu postoje i uređaji s proširenim rasponom frekvencija, npr. od 50 mHz do 5000 Hz [83]. Tipični oblici frekvencijske ovisnosti tan δ prikazani su na slici 18.7 za različite slučajevne udjela vlage u izolaciji te različita stanja ulja. Porast temperature utjecat će na pomak cijele karakteristike udesno budući da električna vodljivost ulja raste s porastom temperature. Vodljivost ulja također raste sa starenjem te povećanjem udjela vode u ulju. Na oblik karakteristike u točkama na koljenu pri niskim i visokim frekvencijama utječe promjene u geometriji namota.

Glavni nedostatak spektroskopije je dugo vrijeme mjerenja, naročito pri niskim frekvencijama, koje ukupno za cijeli frekvencijski spektar može trajati i više od 12 sati.

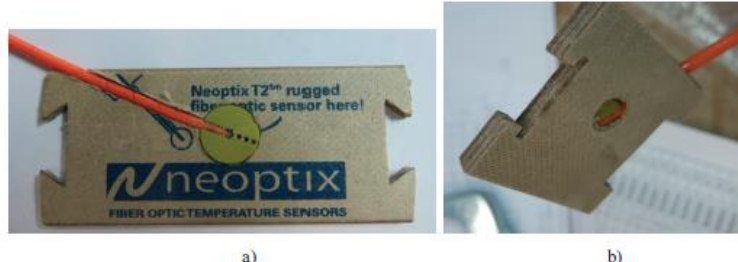


Sl. 18.7. Tipični oblici frekvencijske ovisnosti $\tan \delta$ za različite slučajevne udjela vlage u papiru i električne vodljivosti ulja

18.1.2.8. Spektroskopija u vremenskoj domeni

U svrhu dijagnosticiranja udjela vlage u izolaciji provodi se mjerenje struja polarizacije i depolarizacije izolacije transformatora u vremenskoj domeni (engl. *Polarization and De-*

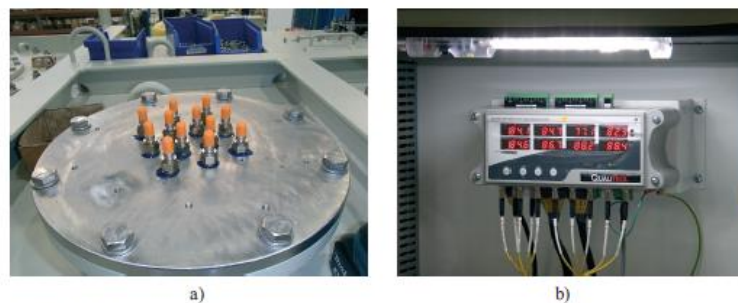
18.2. Kontinuirano motrenje transformatora 479



Sl. 18.24. Priprema svjetlovodnog temperaturnog senzora za ugradnju: a) senzor umetnut u disk i pločicu od prešpana, b) senzor ugrađen u „sendvič“ između dvije dodatne pločice od prešpana



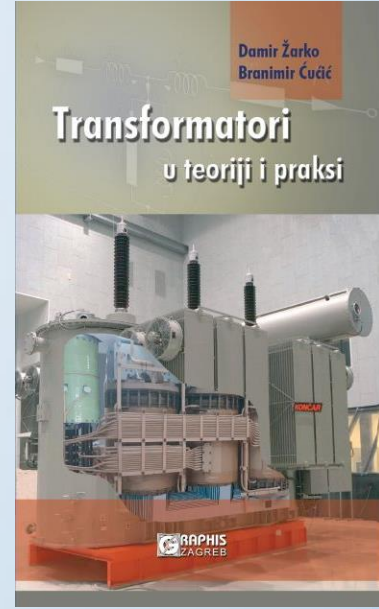
Sl. 18.25. Primjer svjetlovodnog temperaturnog senzora ugrađenog u uljni kanal VN namota transformatora



Sl. 18.26. Primjer a) priključnog mjesto na kotlu transformatora i b) uređaja za obradu i prikaz mjerjenih signala iz svjetlovodnih temperaturnih senzora ugrađenih u transformator



19. Prilozi



19.2. Natpisna pločica 491

Za neke tipove transformatora (suhe, sa samozaštitom itd.) mogu se definirati i druga ispitivanja.

Ako ispitivanje nije specificirano u [123] (npr. nije navedeno mjerjenje viših harmonika u strujni magnetiziranju), tada se ono provodi prema dogovoru kupca i proizvodača transformatora.

19.1.4. Ispitivanja prilikom montaže transformatora na terenu

Bez obzira na to što se transformator ispituje u tvornici, na terenu (engl. *on site*) se rade dodatne provjere i ispitivanja uslijed mogućih oštećenja u transportu ili pak zbog toga što se već transformator transportira s skinutim hladnjacima i provodnicima.

Obično se kod distribucijskih transformatora na terenu mjeri struja magnetiziranja, provjerava prijenosni omjer, mjeri otpor izolacije namota, provjerava signalizacija i podešenja, a često još dodatno mjeri otpori namota, faktor dielektričnih gubitaka (tan δ) i ovlaženos izolacijskog sustava, radi fizikalno-kemijska i kromatografska analiza ulja, te frekvencijski odziv transformatora (FRA).

Kod energetskih transformatora se na terenu najčešće mjeri struja magnetiziranja, provjerava prijenosni omjer, mjeri otpor izolacije namota, ispituje dielektrična čvrstoća ulja, radi fizikalno-kemijska i kromatografska analiza ulja, ispituje rad zaštitnih uređaja na transformatoru (signalizacija), radi vizualna kontrola montiranih dijelova i nepropusnosti svih spojeva na transformatoru, a često još dodatno mjeri otpori namota, kapaciteti i faktor dielektričnih gubitaka namota i provodnika (tan δ), mjeri ovlaženos izolacije, mjeri rasipni induktivitet namota, te ispituje frekvencijski odziv transformatora (FRA).

19.2. Natpisna pločica

Svaki transformator mora imati natpisnu pločicu od materijala otpornog na vremenske uvjete postavljenu u vidljivi položaj. Zapisi na pločici moraju biti neizbrisivi i sadržavati sljedeće nužne podatke [123]:

1. Vrsta transformatora (npr. transformator, autotransformator, strujni transformator, naponski transformator)
2. Broj standarda prema kojem su definirani podaci (npr. IEC 60076)
3. Naziv proizvođača (npr. Končar D&ST, Alstom, ABB, Siemens)
4. Tip i serijski broj
5. Godina proizvodnje
6. Broj faza
7. Nazivna snaga (u kVA ili MVA). Za višenamotne transformatore mora biti navedena snaga svakog namota. Moraju biti navedene kombinacije opterećenja osim ako je snaga jednog namota jednaka sumi snaga svih ostalih namota.
8. Nazivna frekvencija
9. Nazivni napon (u V ili kV) i raspon regulacije napona (npr. $11 \text{ kV} \pm 2 \times 2,5\%$)

19.2. Natpisna pločica 493

5. Shema spoja u slučaju kada standardna oznaka spoja ne daje kompletну informaciju o unutarnjim spojevima
6. Masa za prijevoz (za transformatore ukupne mase veće od 5 t)
7. Masa jezgre i namota (engl. *untanking mass*)

19.2.2. Primjeri natpisnih pločica

Primjeri natpisnih pločica za distribucijski, energetski i specijalni transformator prikazani su na slikama 20.1, 20.2 i 20.3.

CE		KONČAR D&ST		TRANSFORMER	
①	+5%	11550	V	Type	5TBNO 800-12/OP
②	+2,5%	11275		No.	DT1143-
③	Rated voltages	11000	420	Power	800 kVA Connect Dyn11
④	-2,5%	10725		Phases	3 Standard IEC 60076
⑤	-5%	10450		Freq.	50 Hz Cooling ONAN
	Rated currents	42	1100 A	P ₀	< A ₀ 635 W
	Insulation level	LI75 AC28	AC3	P _K	< B _K 6300 W
	U _k	%	X000X	Windings	A1 385 kg
				Oil	CLASS 0 440 kg
				Core	HGO-DR 1230 kg
				Total mass	2490 kg
MADE IN CROATIA					
2002/02					
HVL PARTILLE, SVERIGE TEL. 031-44 54 56					

SL 19.1. Primjer natpisne pločice distribucijskog transformatora